

МАГНИТНЫЙ РЕЗОНАНС В НЕКОЛЛИНЕАРНОМ АНТИФЕРРОМАГНЕТИКЕ CsNiCl_3

И.А. Зализняк, В.И. Марченко, С.В. Петров,
Л.А. Прозорова, А.В. Чубуков

Проведено экспериментальное и теоретическое исследование спектра АФМР при опрекидывании подрешеток в неколлинеарном антиферромагнетике CsNiCl_3 .

Согласно данным нейтронографии ¹ и исследованию ЯМР ² CsNiCl_3 при температуре ниже 4,4 К является неколлинеарным антиферромагнетиком. Магнитная структура определяется шестью одинаковыми по величине подрешетками ($\text{Ni} : \text{S} = 1$). Спины соседних по гексагональной плоскости атомов лежат в определенной плоскости в спиновом пространстве и ориентированы приблизительно под углом 120° друг к другу, спины же соседей вдоль оси симметрии z отличаются лишь знаком. Плоскость, в которой лежат спины в отсутствии магнитного поля, перпендикулярна базисной плоскости кристалла x, y . Поэтому в точной магнитной симметрии состояния нет гексагональных элементов. В этих условиях близость углов между подрешетками к 120° указывает на то, что структура сформирована обменными силами и релятивистские эффекты малы.

Для выяснения обменной симметрии ³, удобно повернуть спиновое пространство так, чтобы подрешетки лежали в гексагональной плоскости (рис. 1). Из рисунка ясно, что симметрия плотности частиц при пренебрежении релятивистскими эффектами совпадает с кристаллической группой парамагнитной фазы D_{6h}^4 . Обменная симметрия структуры задается антиферромагнитными векторами $\mathbf{l}_1 \perp \mathbf{l}_2$, $l_1 = l_2 = 1$, преобразующимися при кристаллических преобразованиях как пара функций $\cos(2\pi z/c)\cos(4\pi x/3a)$, $\cos(2\pi z/c)\sin(4\pi x/3a)$.

Энергия анизотропии $\sim (v/c)^2$ при такой обменной симметрии сводится к одному инварианту $\mathcal{L}_{1z}^2 + \mathcal{L}_{2z}^2$. Введя единичный вектор $\mathbf{n} = [\mathbf{l}_1 \cdot \mathbf{l}_2]$, запишем энергию анизотропии в виде $\beta n_z^2/2$. В CsNiCl_3 $\beta > 0$. Для объяснения спектра АФМР в исследованном в настоящей работе диапазоне частот достаточно учесть лишь этот главный член.

В силу обменной симметрии структуры тензор восприимчивости задается двумя компонентами $\chi_{\parallel}(\perp \mathbf{n})$ и $\chi_{\perp}(\parallel \mathbf{n})$. Если $\chi_{\parallel} > \chi_{\perp}$, то во внешнем поле $H = H_0 \parallel z$, $H_0^2 = \beta / (\chi_{\parallel} - \chi_{\perp})$ должно произойти опрокидывание подрешеток в состояние $\mathbf{n} \parallel z$. Для спектра АФМР при $\mathbf{z} \perp \mathbf{n}$ находим (см. ^{3, 4})

$$H < H_0 : \frac{\nu_1}{\gamma} = (\eta H_0^2 + H^2)^{1/2}, \quad \nu_2 = \nu_3 = 0;$$

$$H > H_0 : \frac{\nu_{1,2}}{\gamma} = \left\{ \left(\frac{1+\eta}{2} H \right)^2 - \eta H_0^2 \right\}^{1/2} \pm \frac{1-\eta}{2} H, \quad \nu_3 = 0,$$

где $\eta = (\chi_{\parallel} - \chi_{\perp}) / \chi_{\perp}$ (ср. ^{3, 4}). Нулевые частоты обусловлены вырожденным характером энергии анизотропии $\sim (v/c)^2$, причем $\nu_3 = 0$ и при произвольной ориентации поля. Во внешнем поле, направленном под углом φ к оси z , частоты АФМР определяются уравнением

$$\left(\frac{\nu}{\gamma} \right)^4 - \left(\frac{\nu}{\gamma} \right)^2 \{ H^2 + \eta^2 H^2 \cos^2(\theta - \varphi) - \eta H_0^2 (3 \cos^2 \theta - 1) + \eta \{ H_0^2 \cos^2 \theta - H^2 \cos^2(\theta - \varphi) \} \{ \eta H_0^2 \cos 2\theta - \eta H^2 \cos^2(\theta - \varphi) - H^2 \sin^2(\theta - \varphi) \} = 0,$$

здесь θ — угол отклонения вектора \mathbf{n} от оси z :

$$\operatorname{tg} 2\theta = \frac{H^2 \sin 2\varphi}{H^2 \cos 2\varphi - H_0^2}$$

Исследованные монокристаллы CsNiCl_3 были выращены методом Бриджмена. Кристаллы были прозрачны, темно-красного цвета, хорошо скользили по бинарной плоскости. Образцы имели форму параллелепипедов с линейными размерами ~ 1 мм.

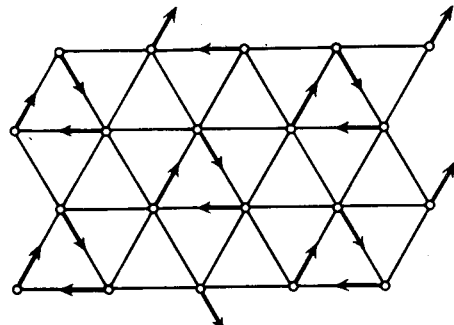


Рис. 1

Измерения резонансного поглощения проводились на спектрометре прямого усиления в диапазоне частот 20 — 80 ГГц, в полях до 35 кЭ, при температурах 1,8 — 46 К и различных ориентациях кристалла. Образец помещался либо в короткозамкнутый волновод, либо в цилиндрический резонатор. Внешнее магнитное поле калибровалось по сигналу ЭПР от ДФПГ, расположенного вблизи образца.

В парамагнитной фазе наблюдается одна линия $\nu = \gamma H$. При $T = 5,1$ К $\gamma = 3,0$ ГГц/кЭ, что совпадает с результатами работы ⁵. Ширина линии $\Delta H \sim 1$ кЭ.

В упорядоченной фазе исследовалась зависимость спектра АФМР от направления внешнего поля. На рис. 2 представлены результаты, полученные при $T = 1,8$ К ($\alpha = \varphi \lesssim 1^\circ$, $\beta = \varphi \approx 10^\circ$, $\vartheta = \varphi \approx 90^\circ$). В полях до опрокидывания (при $\varphi \approx 0$) линия широкая $\Delta H \sim 4$ кЭ, после опрокидывания $\Delta H \sim 0,8$ кЭ. Основные изменения спектра при увеличении угла φ

происходят при малых $\varphi \lesssim 15^\circ$. При повышении температуры до 2,8 К, резонансные линии сильно уширяются и уменьшаются по амплитуде, частота АФМР при $H = 0$ понижается на 10 ГГц. Теоретические кривые построены при $\varphi = 1^\circ$ (a), 10° (б) и 90° (в); $\gamma = 3$ ГГц/кЭ, $H_0 = 19$ кЭ, $\eta = 0,8$, что удовлетворительно согласуется с результатами измерения X_{\parallel} , X_{\perp} ⁵ и H_0 ⁶.

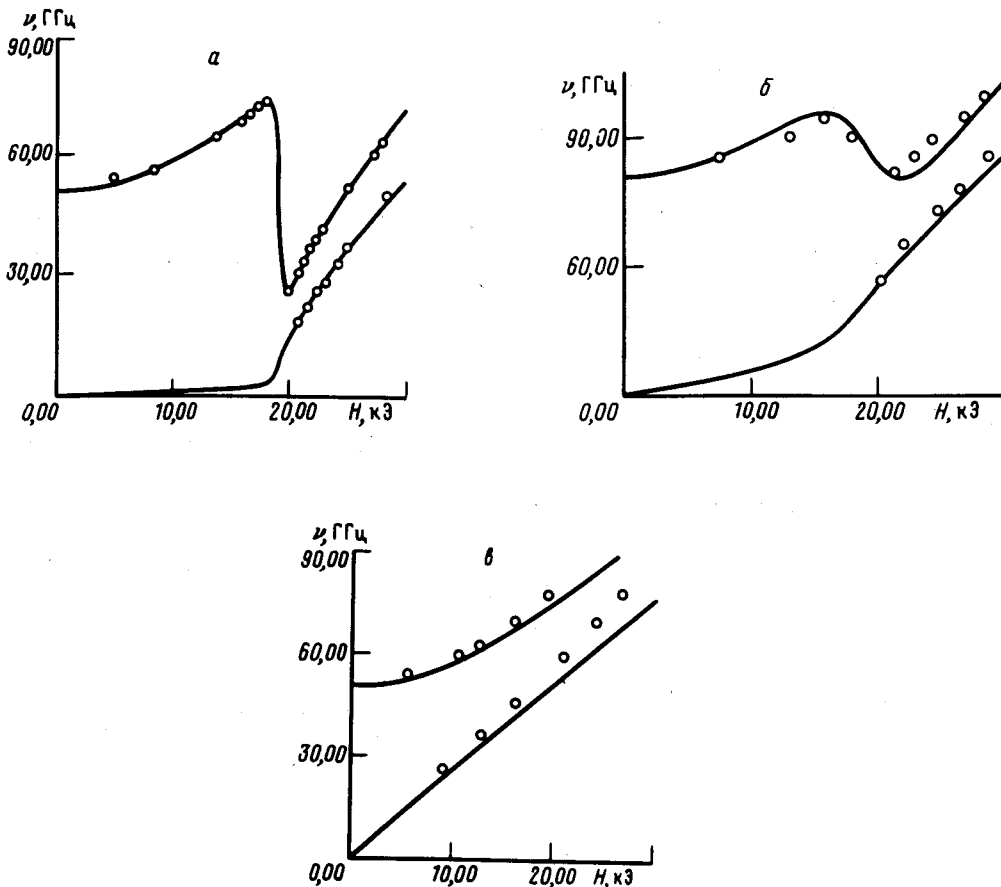


Рис. 2

Отметим, что согласно микроскопическому расчету в модели Гейзенберга при учете взаимодействия ближайших соседей вдоль $z - J$ и в базисной плоскости $- J'$, близость η к единице при $T = 0$ обусловлена малостью $J' \ll J$.

Литература

1. Minkiewicz V.J., Cox D.E., Shirane G. Solid St. Com., 1970, **8**, 1001.
2. Clark R.H., Moulton W.G. Phys. Rev., 1972, **B5**, 788.
3. Андреев А.Ф., Марченко В.И. УФН, 1980, **130**, 39.
4. Прозорова Л.А., Марченко В.И., Красняк Ю.В. Письма в ЖЭТФ, 1985, **41**, 522.
5. Achiwa N. J. Phys. Soc. Jap., 1969, **27**, 561.
6. Johnson P.B., Rayne J.A., Friedberg S.A. J. Appl. Phys., 1979, **50**, 1853.

Институт физических проблем
Академии наук СССР

Институт физики твердого тела
Академии наук СССР

Поступила в редакцию
6 января 1988 г.